

# **Taller No. 5**

## **Teoria Electromagnética**

**Angie Carolina Chaves**  
**Michel Dayana Bolaños Leon**  
**Elizabeth Muños Buitron**  
**Ivan Dario Mipaz Chamorro**

Trabajo escrito de la asignatura:  
Teoría Electromagnética

Profesor:  
Servio Tulio Perez Merchancano, Ph.D

Universidad del Cauca  
Facultad de Ciencias Naturales, Exactas y de la Educación, Departamento de Física  
Asunción de Popayán, Colombia  
2025

## Problema 3.13

Encuentra el potencial en la ranura infinita del Ejercicio 3.3 si la frontera en  $x = 0$  consiste en dos tiras metálicas: una, desde  $y = 0$  hasta  $y = a/2$ , está a un potencial constante  $V_0$ , y la otra, desde  $y = a/2$  hasta  $y = a$ , está a un potencial de  $-V_0$ .

## Solución

Antes de realizar el problema 3.13 y 3.14, resolveremos el Ejercicio 3.3.

## Ejercicio 3.3

Dos placas metálicas infinitas conectadas a tierra se encuentran paralelas al plano  $xz$ , una ubicada en  $y = 0$ , y la otra en  $y = a$  (ver Fig. 3.17). El extremo izquierdo, en  $x = 0$ , está cerrado con una banda infinita aislada de las dos placas, y se mantiene a un potencial específico  $V_0(y)$ . Encuentra el potencial dentro de esta "ranura" (slot).

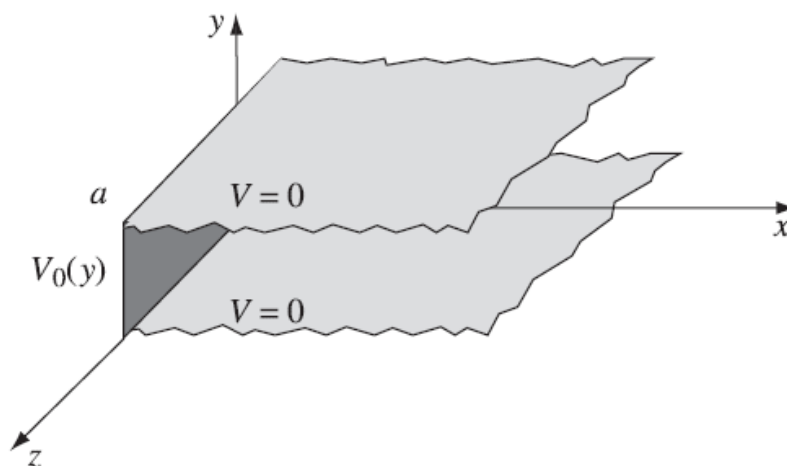


Figura 3.17

Sujeto a las condiciones de contorno:

$$\left\{ \begin{array}{ll} \text{(i)} & V = 0 \quad \text{cuando } y = 0, \\ \text{(ii)} & V = 0 \quad \text{cuando } y = a, \\ \text{(iii)} & V = V_0(y) \quad \text{cuando } x = 0, \\ \text{(iv)} & V \rightarrow 0 \quad \text{si } x \rightarrow \infty. \end{array} \right.$$

## Solución

La configuración es independiente de  $z$ , ya que todo es infinito en esta dirección. Por tanto, el problema se reduce a dos dimensiones  $(x, y)$ .

## Ecuación de Laplace

$$\frac{\partial^2 V}{\partial x^2} + \frac{\partial^2 V}{\partial y^2} = 0$$

Proponemos como solución:

$$V(x, y) = X(x)Y(y)$$

Sustituimos en la ecuación de Laplace:

$$Y \frac{d^2 X}{dx^2} + X \frac{d^2 Y}{dy^2} = 0$$

Dividimos entre  $XY$ :

$$\frac{1}{X} \frac{d^2 X}{dx^2} + \frac{1}{Y} \frac{d^2 Y}{dy^2} = 0$$

Como la primera parte depende solo de  $x$  y la segunda solo de  $y$ , ambas deben ser iguales a una constante:

$$\frac{1}{X} \frac{d^2 X}{dx^2} = C_1, \quad \frac{1}{Y} \frac{d^2 Y}{dy^2} = C_2$$

Con:

$$C_1 + C_2 = 0$$

$$C_1 = -C_2 = k^2$$

Igualamos a  $k^2$

$$\frac{d^2 X}{dx^2} = k^2 X, \quad \frac{d^2 Y}{dy^2} = -k^2 Y$$

Sean las soluciones:

$$X(x) = Ae^{kx} + Be^{-kx}$$

$$Y(y) = C \sin(ky) + D \cos(ky)$$

## Soluciones generales

**Para  $Y(y)$ :**

$$\frac{d^2 Y}{dy^2} = -k^2 Y, \quad Y(y) = C \sin(ky) + D \cos(ky)$$

Aplicamos condiciones de frontera:

$$y = 0 \quad y = a$$

$$\text{Si } y = 0 \Rightarrow Y(0) = C \sin(0) + D \cos(0) = 0$$

$$Y(0) = D = 0$$

Entonces

$$\boxed{D = 0}$$

$$\text{Si } y = a \Rightarrow Y(a) = C \sin(ka) + D \cos(ka) = 0$$

$$Y(a) = C \sin(ka) = 0$$

Para que esto se cumpla con  $C \neq 0$  (queremos soluciones no triviales), necesitamos:

$$\sin(ka) = 0 \quad \Rightarrow \quad ka = n\pi \quad ; \quad k = \frac{n\pi}{a}$$

De forma general,

$$Y(y) = \sin\left(\frac{n\pi y}{a}\right), \quad \text{con } n = 1, 2, 3, \dots$$

**Para  $X(x)$ :**

$$\frac{d^2 X}{dx^2} = k^2 X \quad ; \quad X(x) = Ae^{kx} + Be^{-kx}$$

Como  $k = \frac{n\pi}{a}$ , entonces:

$$X(x) = Ae^{\frac{n\pi}{a}x} + Be^{-\frac{n\pi}{a}x}$$

Pero como  $V = 0$  cuando  $x \rightarrow \infty$ :

$$X(x) = Ae^\infty + Be^{-\infty} = 0$$

Entonces  $A$  debe ser 0 para que no tienda a  $\infty$

$$X(x) = Be^{-\frac{n\pi}{a}x}$$

Finalmente, la solución general:

$$V(x, y) = \sum_{n=1}^{\infty} C_n e^{-\frac{n\pi}{a}x} \sin\left(\frac{n\pi}{a}y\right) \quad (1)$$

Determinamos los coeficientes  $C_n$  usando la condición de contorno (iii)  $V = V_0(y)$  en  $x = 0$ :

$$\begin{aligned} V(0, y) = V_0(y) &= \sum_{n=1}^{\infty} C_n e^0 \sin\left(\frac{n\pi}{a}y\right) \\ V_0(y) &= \sum_{n=1}^{\infty} C_n \sin\left(\frac{n\pi}{a}y\right) \end{aligned} \quad (*)$$

La suma es una serie de Fourier senoidal. Multiplicamos ambos lados de la serie por  $\sin\left(\frac{n'\pi}{a}y\right)$  e integramos en  $y$  de 0 a  $a$ :

$$\int_0^a V_0(y) \sin\left(\frac{n'\pi}{a}y\right) dy = \sum_{n=1}^{\infty} C_n \int_0^a \sin\left(\frac{n\pi}{a}y\right) \sin\left(\frac{n'\pi}{a}y\right) dy$$

Usamos ortogonalidad:

$$\int_0^a \sin\left(\frac{n\pi}{a}y\right) \sin\left(\frac{n'\pi}{a}y\right) dy = \begin{cases} 0, & \text{si } n' \neq n \\ \frac{a}{2}, & \text{si } n' = n \end{cases}$$

Si  $n' = n$ , entonces:

$$\int_0^a V_0(y) \sin\left(\frac{n\pi}{a}y\right) dy = \frac{a}{2} \sum_{n=1}^{\infty} C_n$$

Despejando  $C_n$ :

$$C_n = \frac{2}{a} \int_0^a V_0(y) \sin\left(\frac{n\pi}{a}y\right) dy \quad (2)$$

Si el potencial en  $x = 0$  es una constante  $V_0 = V_0(y)$ :

$$C_n = \frac{2V_0}{a} \left[ \int_0^a \sin\left(\frac{n\pi}{a}y\right) dy \right]$$

Resolvemos la integral, sustituimos  $u = \frac{n\pi}{a}y$ , entonces:

$$C_n = \frac{2V_0}{a} \left[ \frac{a}{n\pi} (-\cos u) \Big|_0^{n\pi} \right]$$

$$C_n = \frac{2V_0}{a} \left[ \frac{a}{n\pi} (-\cos(n\pi) + \cos(0)) \right]$$

$$C_n = \frac{2V_0}{a} \cdot \frac{a}{n\pi} (1 - \cos(n\pi))$$

$$C_n = \frac{2V_0}{n\pi} (1 - \cos(n\pi)) = \begin{cases} 0, & \text{si } n \text{ es par} \\ \frac{4V_0}{n\pi}, & \text{si } n \text{ es impar} \end{cases}$$

Por lo tanto, la solución es:

$$V(x, y) = \sum_{\substack{n=1 \\ n \text{ impar}}}^{\infty} \frac{4V_0}{n\pi} e^{-\frac{n\pi}{a}x} \sin\left(\frac{n\pi}{a}y\right) \quad (3)$$

### Solución ejercicio 3.13

Partimos de las soluciones generales (1) y (2) del ejercicio 3.3:

$$V(x, y) = \sum_{n=1}^{\infty} C_n e^{-\frac{n\pi}{a}x} \sin\left(\frac{n\pi}{a}y\right)$$

donde:

$$C_n = \frac{2}{a} \int_0^a V_0(y) \sin\left(\frac{n\pi}{a}y\right) dy$$

Para este caso en la frontera con  $x = 0$ :

$$V_0(y) = \begin{cases} V_0, & 0 \leq y < \frac{a}{2} \\ -V_0, & \frac{a}{2} < y \leq a \end{cases}$$

Partimos la integral por tramos:

$$C_n = \frac{2V_0}{a} \left[ \int_0^{a/2} \sin\left(\frac{n\pi}{a}y\right) dy - \int_{a/2}^a \sin\left(\frac{n\pi}{a}y\right) dy \right]$$

Sabemos que:

$$\int \sin(ky) dy = -\frac{1}{k} \cos(ky), \quad \text{con } k = \frac{n\pi}{a}$$

Evaluamos:

**Primer término:**

$$\int_0^{a/2} \sin\left(\frac{n\pi}{a}y\right) dy = -\frac{a}{n\pi} \left[ \cos\left(\frac{n\pi}{a}y\right) \right]_0^{a/2} = -\frac{a}{n\pi} \left[ \cos\left(\frac{n\pi}{2}\right) - 1 \right]$$

**Segundo término:**

$$\int_{a/2}^a \sin\left(\frac{n\pi}{a}y\right) dy = -\frac{a}{n\pi} \left[ \cos\left(\frac{n\pi}{a}y\right) \right]_{a/2}^a = -\frac{a}{n\pi} \left[ \cos(n\pi) - \cos\left(\frac{n\pi}{2}\right) \right]$$

Tenemos,

$$C_n = \frac{2V_0}{a} \left[ -\frac{a}{n\pi} \left( \cos\left(\frac{n\pi}{2}\right) - 1 \right) + \frac{a}{n\pi} \left( \cos(n\pi) - \cos\left(\frac{n\pi}{2}\right) \right) \right]$$

$$C_n = \frac{2V_0}{n\pi} \left[ -\cos\left(\frac{n\pi}{2}\right) + 1 + \cos(n\pi) - \cos\left(\frac{n\pi}{2}\right) \right]$$

$$C_n = \frac{2V_0}{n\pi} \left[ -2\cos\left(\frac{n\pi}{2}\right) + 1 + \cos(n\pi) \right]$$

Ahora analizamos:

**Para  $n$  par:**

$$\cos(n\pi) = 1, \quad \cos\left(\frac{n\pi}{2}\right) = \pm 1$$

$$n = 2 \Rightarrow C_2 = \frac{2V_0}{2\pi} [-2(-1) + 1 + 1] = \frac{2V_0}{2\pi}(4) = \frac{4V_0}{\pi}$$

$$n = 4 \Rightarrow C_4 = \frac{2V_0}{4\pi} [-2(1) + 1 + 1] = 0 \Rightarrow C_4 = 0$$

**Para  $n$  impar:**

$$\cos(n\pi) = -1, \quad \cos\left(\frac{n\pi}{2}\right) = 0$$

$$n = 1 \Rightarrow C_1 = \frac{2V_0}{\pi} (-2(0) + 1 - 1) = 0$$

$$n = 3 \Rightarrow C_3 = \frac{2V_0}{3\pi} (-2(0) + 1 - 1) = 0$$

Luego:

$$C_n = \begin{cases} \frac{8V_0}{n\pi}, & \text{si } n = 2, 6, 10, 14 \quad (\text{para } n = 4j + 2, j = 0, 1, 2, \dots) \\ 0, & \text{de otra manera} \end{cases}$$

Finalmente,

$$V(x, y) = \frac{8V_0}{\pi} \sum_{n=2,6,10,\dots}^{\infty} \frac{1}{n} e^{-\frac{n\pi}{a}x} \sin\left(\frac{n\pi}{a}y\right)$$

o también,

$$V(x, y) = \frac{8V_0}{\pi} \sum_{j=0}^{\infty} \frac{e^{-\frac{(4j+2)\pi}{a}x} \sin\left(\frac{(4j+2)\pi}{a}y\right)}{(4j+2)}$$

## Problema 3.14

Para la ranura infinita (Ejercicio 3.3), determina la densidad de carga  $\sigma(y)$  sobre la tira en  $x = 0$ , asumiendo que es un conductor a potencial constante  $V_0$ .

### Solución

Partimos de la Ec. 3, solución del Ejercicio. 3.3:

$$V(x, y) = \frac{4V_0}{\pi} \sum_{n=1,3,5}^{\infty} \frac{1}{n} e^{-\frac{n\pi}{a}x} \sin\left(\frac{n\pi}{a}y\right)$$

La ecuación 2.49 del libro:

$$\sigma = -\varepsilon_0 \frac{\partial V}{\partial n}$$

donde  $\frac{\partial}{\partial n}$  es la derivada normal hacia afuera del conductor. En este caso el conductor está en  $x = 0$ , entonces:

$$\sigma(y) = -\varepsilon_0 \left. \frac{\partial V}{\partial x} \right|_{x=0}$$

Reemplazamos,

$$\begin{aligned} \sigma(y) &= -\varepsilon_0 \frac{\partial}{\partial x} \left[ \frac{4V_0}{\pi} \sum_{n=1,3,5}^{\infty} \frac{1}{n} e^{-\frac{n\pi}{a}x} \sin\left(\frac{n\pi}{a}y\right) \right] \\ &= -\varepsilon_0 \cdot \frac{4V_0}{\pi} \sum_{n=1,3,5}^{\infty} \frac{1}{n} \sin\left(\frac{n\pi}{a}y\right) \frac{\partial}{\partial x} (e^{-\frac{n\pi}{a}x}) \\ &= -\varepsilon_0 \cdot \frac{4V_0}{\pi} \sum_{n=1,3,5}^{\infty} \frac{1}{n} \sin\left(\frac{n\pi}{a}y\right) \left(-\frac{n\pi}{a}\right) e^{-\frac{n\pi}{a}x} \Big|_{x=0} \\ &= -\varepsilon_0 \cdot \frac{4V_0}{\pi} \left(-\frac{\pi}{a}\right) \sum_{n=1,3,5}^{\infty} \sin\left(\frac{n\pi}{a}y\right) \end{aligned}$$

Obtenemos finalmente,

$$\sigma(y) = \frac{4V_0\epsilon_0}{a} \sum_{n=1,3,5}^{\infty} \sin\left(\frac{n\pi}{a}y\right)$$

## Problema 3.17:

Derivar el polinomio de Legendre  $P_3(x)$  utilizando la fórmula de Rodrigues. Y demuestre que  $P_3(\cos\theta)$  satisface la ecuación angular (3.60) para  $l = 3$ . Demuestre que  $P_3(x)$  y  $P_1(x)$  son ortogonales mediante integración explícita.

### 1. Derivación de $P_3(x)$ con la fórmula de Rodrigues

La fórmula de Rodrigues para los polinomios de Legendre está dada por:

$$P_l(x) = \frac{1}{2^l l!} \frac{d^l}{dx^l} (x^2 - 1)^l$$

Para el caso  $l = 3$ , se tiene:

$$P_3(x) = \frac{1}{8 \cdot 6} \frac{d^3}{dx^3} (x^2 - 1)^3$$

Calculando el polinomio:

$$(x^2 - 1)^3 = x^6 - 3x^4 + 3x^2 - 1$$

Derivando tres veces:

$$\begin{aligned} \frac{d}{dx} &= 6x^5 - 12x^3 + 6x \\ \frac{d^2}{dx^2} &= 30x^4 - 36x^2 + 6 \\ \frac{d^3}{dx^3} &= 120x^3 - 72x \end{aligned}$$

Entonces:

$$P_3(x) = \frac{1}{48} (120x^3 - 72x) = \frac{5}{2}x^3 - \frac{3}{2}x$$

$$P_3(x) = \frac{5}{2}x^3 - \frac{3}{2}x$$

### 2. Verificación de la ecuación angular

La ecuación angular de Legendre está dada por:

$$\frac{1}{\sin\theta} \frac{d}{d\theta} \left( \sin\theta \frac{d\Theta}{d\theta} \right) + l(l+1)\Theta = 0,$$



para  $l = 3$  y  $\Theta(\theta) = P_3(\cos \theta)$ .

Se tiene que:

$$\Theta(\theta) = P_3(\cos \theta) = \frac{5}{2} \cos^3 \theta - \frac{3}{2} \cos \theta.$$

Calculando su derivada con respecto a  $\theta$ :

$$\begin{aligned} \frac{d\Theta}{d\theta} &= \frac{d}{d\theta} \left( \frac{5}{2} \cos^3 \theta - \frac{3}{2} \cos \theta \right) \\ &= \frac{5}{2} \cdot 3 \cos^2 \theta (-\sin \theta) + \frac{3}{2} \sin \theta \\ &= -\frac{15}{2} \cos^2 \theta \sin \theta + \frac{3}{2} \sin \theta \\ &= \sin \theta \left( -\frac{15}{2} \cos^2 \theta + \frac{3}{2} \right) \end{aligned}$$

Multiplicando por  $\sin \theta$ :

$$\sin \theta \frac{d\Theta}{d\theta} = \sin^2 \theta \left( -\frac{15}{2} \cos^2 \theta + \frac{3}{2} \right)$$

Luego, derivando de nuevo:

$$\begin{aligned} \frac{d}{d\theta} \left( \sin \theta \frac{d\Theta}{d\theta} \right) &= \frac{d}{d\theta} \left[ \sin^2 \theta \left( -\frac{15}{2} \cos^2 \theta + \frac{3}{2} \right) \right] \\ &= \frac{d}{d\theta} \left[ -\frac{15}{2} \sin^2 \theta \cos^2 \theta + \frac{3}{2} \sin^2 \theta \right] \end{aligned}$$

Usando identidades trigonométricas:

$$\sin^2 \theta = \frac{1 - \cos(2\theta)}{2}, \quad \cos^2 \theta = \frac{1 + \cos(2\theta)}{2}$$

Al simplificar, se obtiene finalmente:

$$\frac{1}{\sin \theta} \frac{d}{d\theta} \left( \sin \theta \frac{d\Theta}{d\theta} \right) = -12\Theta(\theta),$$

ya que  $l = 3 \Rightarrow l(l+1) = 12$ , lo cual verifica que  $\Theta(\theta) = P_3(\cos \theta)$  satisface la ecuación angular.

Por tanto,  $\Theta(\theta) = P_3(\cos \theta)$  satisface la ecuación angular para  $l = 3$ .

### 3. Verificación de la ortogonalidad entre $P_3(x)$ y $P_1(x)$

Se verifica la ortogonalidad utilizando la propiedad:

$$\int_{-1}^1 P_l(x) P_{l'}(x) dx = 0 \quad \text{si } l \neq l'$$

Se tiene:

$$P_1(x) = x, \quad P_3(x) = \frac{5}{2}x^3 - \frac{3}{2}x$$

Producto:

$$P_1(x)P_3(x) = x \left( \frac{5}{2}x^3 - \frac{3}{2}x \right) = \frac{5}{2}x^4 - \frac{3}{2}x^2$$

Integramos:

$$\begin{aligned} \int_{-1}^1 \left( \frac{5}{2}x^4 - \frac{3}{2}x^2 \right) dx &= \frac{5}{2} \int_{-1}^1 x^4 dx - \frac{3}{2} \int_{-1}^1 x^2 dx \\ &= \frac{5}{2} \cdot \frac{2}{5} - \frac{3}{2} \cdot \frac{2}{3} \\ &= 1 - 1 = 0 \end{aligned}$$

$$\boxed{\int_{-1}^1 P_1(x)P_3(x)dx = 0}$$

Por tanto,  $P_1(x)$  y  $P_3(x)$  son ortogonales.

## Problema 3.18:

(a) Supón que el potencial es una constante  $V_0$  sobre la superficie de una esfera. Usa los resultados de los Ejemplos 3.6 y 3.7 para encontrar el potencial dentro y fuera de la esfera. (b) Encuentra el potencial dentro y fuera de una cáscara esférica que lleva una densidad de carga superficial uniforme  $\sigma_0$ , usando los resultados del Ejemplo 3.9.

### (a) Potencial constante sobre la superficie de una esfera

Se sabe que el potencial general para problemas con simetría esférica (Ej. 3.6 y 3.7) es:

$$V(r, \theta) = \sum_{\ell=0}^{\infty} \left( A_{\ell} r^{\ell} + \frac{B_{\ell}}{r^{\ell+1}} \right) P_{\ell}(\cos \theta)$$

Para el interior de la esfera ( $r < R$ ), se tiene que  $B_{\ell} = 0$ , por lo que:

$$V_{\text{dentro}}(r, \theta) = \sum_{\ell=0}^{\infty} A_{\ell} r^{\ell} P_{\ell}(\cos \theta)$$

Para el exterior de la esfera ( $r > R$ ),  $A_{\ell} = 0$ , y se tiene:

$$V_{\text{fuera}}(r, \theta) = \sum_{\ell=0}^{\infty} \frac{B_{\ell}}{r^{\ell+1}} P_{\ell}(\cos \theta)$$

Como la condición de frontera es que  $V(R, \theta) = V_0$ , y  $V_0$  es constante, esto implica que solo sobrevive el término  $\ell = 0$ : Por dentro:

$$V_0 = A_0 R^0 P_0(\cos \theta) = A_0$$

$$V_{\text{dentro}}(r, \theta) = V_0$$

Por fuera:

$$V_0 = \frac{B_0}{R} P_0(\cos \theta) = \frac{B_0}{R}$$

$$B_0 = \frac{V_0 R}{1}$$

$$V_{\text{fuera}}(r, \theta) = \frac{V_0 R}{r}$$

Entonces, el potencial total es:

$$V(r, \theta) = \begin{cases} V_0, & r < R \\ \frac{V_0 R}{r}, & r > R \end{cases}$$

### (b) Cáscara esférica con densidad superficial uniforme $\sigma_0$

Del ejemplo 3.9 se tiene:

$$\varepsilon_0 \sum_{\ell=0}^{\infty} (2\ell + 1) A_{\ell} R^{\ell-1} P_{\ell}(\cos \theta) = \sigma_0$$

Como  $\sigma_0$  es constante, sólo sobrevive el término con  $\ell = 0$  (polinomio de Legendre  $P_0(\cos \theta) = 1$ ). Entonces:

$$\varepsilon_0 \cdot A_0 \cdot \frac{1}{R} = \sigma_0 \Rightarrow A_0 = \frac{\sigma_0 R}{\varepsilon_0}$$

Y

$$B_0 = \frac{\sigma_0 R^2}{\varepsilon_0}$$

Así que el potencial en todo el espacio es:

$$V(r) = \begin{cases} \frac{R\sigma_0}{\varepsilon_0}, & r < R \\ \frac{R^2\sigma_0}{\varepsilon_0 r}, & r > R \end{cases}$$

## Problema 3.22

En el Problema 2.25, encuentre el potencial sobre el eje de un disco uniformemente cargado:

$$V(r, \theta) = \frac{\sigma}{2\epsilon_0} (\sqrt{r^2 + R^2} - r)$$

- (a) Usa esto, junto con el hecho de que  $P_l(1) = 1$  para evaluar los tres primeros términos en la expansión (Ecuación 3.72) para el potencial del disco en puntos fuera del eje, suponiendo que  $r > R$ .
- (b) Encuentra el potencial para  $r < R$  usando el mismo método, empleando la Ecuación 3.66. [Nota: dividir la región interior en dos hemisferios, por arriba y por debajo del disco. No asumir que los coeficientes  $A_l$  son los mismos en ambos hemisferios.]

## Solución

En el Problema 2.25, el potencial sobre el eje de un disco uniformemente cargado de radio  $R$ :

$$V(r, 0) = \frac{\sigma}{2\varepsilon_0} (\sqrt{r^2 + R^2} - r).$$

### (a) Expansión para $r > R$

Para puntos fuera del disco ( $r > R$ ), el potencial puede expresarse de la forma:

$$V(r, \theta) = \sum_{l=0}^{\infty} B_l \frac{P_l(\cos \theta)}{r^{l+1}}.$$

En particular, en el eje  $\theta = 0$ , como  $P_l(1) = 1$ , se tiene

$$V(r, 0) = \sum_{l=0}^{\infty} \frac{B_l}{r^{l+1}}.$$

Por otro lado, para  $r > R$  la expresión dada en el enunciado es

$$V(r, 0) = \frac{\sigma}{2\varepsilon_0} (\sqrt{r^2 + R^2} - r).$$

Expandiendo  $\sqrt{r^2 + R^2} - r$  en potencias de  $R/r$  cuando  $r > R$ :

$$\begin{aligned} \sqrt{r^2 + R^2} &= r \sqrt{1 + \frac{R^2}{r^2}} = r \left( 1 + \frac{1}{2} \frac{R^2}{r^2} - \frac{1}{8} \frac{R^4}{r^4} + \frac{1}{16} \frac{R^6}{r^6} + \dots \right), \\ \sqrt{r^2 + R^2} - r &= r \left( 1 + \frac{1}{2} \frac{R^2}{r^2} - \frac{1}{8} \frac{R^4}{r^4} + \frac{1}{16} \frac{R^6}{r^6} + \dots - 1 \right) \\ &= \frac{R^2}{2r} - \frac{R^4}{8r^3} + \frac{R^6}{16r^5} - \dots \end{aligned}$$

Por tanto,

$$V(r, 0) = \frac{\sigma}{2\varepsilon_0} \left( \frac{R^2}{2r} - \frac{R^4}{8r^3} + \frac{R^6}{16r^5} - \dots \right) = \frac{\sigma R^2}{4\varepsilon_0} \frac{1}{r} - \frac{\sigma R^4}{16\varepsilon_0} \frac{1}{r^3} + \frac{\sigma R^6}{32\varepsilon_0} \frac{1}{r^5} - \dots$$

Comparando este desarrollo con  $V(r, 0) = \sum_{l=0}^{\infty} \frac{B_l}{r^{l+1}}$ , Tenemos que los tres primeros coe-

ficientes no nulos  $B_l$  son:

$$B_0 = \frac{\sigma R^2}{4 \varepsilon_0},$$

$$B_2 = -\frac{\sigma R^4}{16 \varepsilon_0},$$

$$B_4 = \frac{\sigma R^6}{32 \varepsilon_0}.$$

Así, la aproximación con los tres primeros términos para  $r > R$  queda:

$$V(r, \theta) \approx \frac{\sigma R^2}{4 \varepsilon_0} \frac{P_0(\cos \theta)}{r} - \frac{\sigma R^4}{16 \varepsilon_0} \frac{P_2(\cos \theta)}{r^3} + \frac{\sigma R^6}{32 \varepsilon_0} \frac{P_4(\cos \theta)}{r^5}.$$

$$V(r, \theta) \approx \frac{\sigma R^2}{4 \varepsilon_0} \frac{1}{r} - \frac{\sigma R^4}{16 \varepsilon_0} \frac{\frac{1}{2}(3 \cos^2 \theta - 1)}{r^3} + \frac{\sigma R^6}{32 \varepsilon_0} \frac{\frac{1}{8}(35 \cos^4 \theta - 30 \cos^2 \theta + 3)}{r^5}.$$

$$V(r, \theta) \approx \frac{\sigma R^2}{4 \varepsilon_0 r} \left( 1 - \frac{R^2}{4} \frac{\frac{1}{2}(3 \cos^2 \theta - 1)}{r^2} + \frac{R^4}{8} \frac{\frac{1}{8}(35 \cos^4 \theta - 30 \cos^2 \theta + 3)}{r^4} \right)$$

### (b) Expansión para $r < R$

Para puntos dentro del disco ( $r < R$ ) el potencial puede expresarse de la forma:

$$V(r, \theta) = \sum_{l=0}^{\infty} A_l r^l P_l(\cos \theta).$$

De nuevo, en el eje  $\theta = 0$  se tiene  $P_l(1) = 1$ , luego

$$V(r, 0) = \sum_{l=0}^{\infty} A_l r^l.$$

Pero sabemos también que el valor en el eje ( $\theta = 0$ ) para  $r < R$  sigue siendo

$$V(r, 0) = \frac{\sigma}{2 \varepsilon_0} (\sqrt{r^2 + R^2} - r).$$

Ahora, desarrollando  $\sqrt{r^2 + R^2} - r$  en potencias de  $r/R$  cuando  $r < R$ :

$$\begin{aligned} \sqrt{r^2 + R^2} &= R \sqrt{1 + \frac{r^2}{R^2}} = R \left( 1 + \frac{1}{2} \frac{r^2}{R^2} - \frac{1}{8} \frac{r^4}{R^4} + \frac{1}{16} \frac{r^6}{R^6} + \dots \right), \\ \sqrt{r^2 + R^2} - r &= R - r + \frac{r^2}{2R} - \frac{r^4}{8R^3} + \dots \end{aligned}$$

Por tanto,

$$V(r, 0) = \frac{\sigma}{2\varepsilon_0} \left( R - r + \frac{r^2}{2R} - \frac{r^4}{8R^3} + \dots \right).$$

Agrupando por potencias de  $r$ :

$$V(r, 0) = \underbrace{\frac{\sigma R}{2\varepsilon_0}}_{A_0} - \underbrace{\frac{\sigma}{2\varepsilon_0} r}_{A_1} + \underbrace{\frac{\sigma}{4\varepsilon_0 R} r^2}_{A_2} + \dots.$$

De aquí leemos los primeros coeficientes  $A_l$ :

$$\begin{aligned} A_0 &= \frac{\sigma R}{2\varepsilon_0}, \\ A_1 &= -\frac{\sigma}{2\varepsilon_0}, \\ A_2 &= \frac{\sigma}{4\varepsilon_0 R}, \\ &\vdots \end{aligned}$$

Por lo tanto, la aproximación con los primeros términos (hasta  $r^2 P_2$ ) para  $r < R$  para el hemisferio norte  $V(r, \theta)$ , donde  $0 \leq \theta \leq \pi/2$  es:

$$\begin{aligned} V(r, \theta) &\approx \frac{\sigma R}{2\varepsilon_0} P_0(\cos \theta) - \frac{\sigma}{2\varepsilon_0} r P_1(\cos \theta) + \frac{\sigma}{4\varepsilon_0 R} r^2 P_2(\cos \theta) \\ V(r, \theta) &\approx \frac{\sigma R}{2\varepsilon_0} - \frac{\sigma r \cos \theta}{2\varepsilon_0} + \frac{\sigma r^2}{8\varepsilon_0 R} (3 \cos^2 \theta - 1). \\ V(r, \theta) &\approx \frac{\sigma R}{2\varepsilon_0} \left( 1 - \frac{r \cos \theta}{R} + \frac{r^2}{4R^2} (3 \cos^2 \theta - 1) \right). \end{aligned}$$

Ahora, para el hemisferio sur ( $\theta = \pi$ ), tenemos en cuenta que  $P_l(-1) = (-1)^l$ , por lo que los coeficientes  $A_l$  son los mismos, pero con signo alternante:

$$V(r, \pi) = \sum_{l=0}^{\infty} (-1)^l A'_l r^l = \frac{\sigma}{2\varepsilon_0} \left( \sqrt{r^2 + R^2} - r \right)$$

Donde los coeficientes  $A'_l$  son:

$$\begin{aligned} A'_0 &= \frac{\sigma R}{2\varepsilon_0}, \\ A'_1 &= \frac{\sigma}{2\varepsilon_0}, \\ A'_2 &= \frac{\sigma}{4\varepsilon_0 R}, \\ &\vdots \end{aligned}$$

Por lo tanto la aproximación con los primeros términos (hasta  $r^2 P_2$ ) para  $r < R$  para el hemisferio sur es:

$$\begin{aligned} V(r, \theta) &\approx \frac{\sigma R}{2\varepsilon_0} P_0(\cos \theta) + \frac{\sigma}{2\varepsilon_0} r P_1(\cos \theta) + \frac{\sigma}{4\varepsilon_0 R} r^2 P_2(\cos \theta) \\ V(r, \theta) &\approx \frac{\sigma R}{2\varepsilon_0} \left( 1 + \frac{r \cos \theta}{R} + \frac{r^2}{4R^2} (3 \cos^2 \theta - 1) \right). \end{aligned}$$

## Problema 3.24

Resuelve la ecuación de Laplace mediante separación de variables en coordenadas cilíndricas, asumiendo que no hay dependencia con respecto a  $z$  (simetría cilíndrica).

### Solución

La ecuación de Laplace en coordenadas cilíndricas  $(\rho, \varphi, z)$ , asumiendo que no hay dependencia con respecto a  $z$  (simetría axial), se reduce a:

$$\nabla^2 \Phi = \frac{1}{\rho} \frac{\partial}{\partial \rho} \left( \rho \frac{\partial \Phi}{\partial \rho} \right) + \frac{1}{\rho^2} \frac{\partial^2 \Phi}{\partial \varphi^2} = 0$$

Proponemos una solución mediante separación de variables, de la forma  $\Phi(\rho, \varphi) = S(\rho)F(\varphi)$ . Sustituyendo esta forma en la ecuación de Laplace:

$$\frac{F(\varphi)}{\rho} \frac{d}{d\rho} \left( \rho \frac{dS}{d\rho} \right) + \frac{S(\rho)}{\rho^2} \frac{d^2 F}{d\varphi^2} = 0$$

Multiplicamos por  $\frac{\rho^2}{S(\rho)F(\varphi)}$  para separar las variables:

$$\frac{\rho}{S(\rho)} \frac{d}{d\rho} \left( \rho \frac{dS}{d\rho} \right) + \frac{1}{F(\varphi)} \frac{d^2 F}{d\varphi^2} = 0$$

Esto nos lleva a dos ecuaciones diferenciales ordinarias, igualando cada parte a una constante de separación  $k^2$

$$\begin{aligned} \frac{\rho}{S(\rho)} \frac{d}{d\rho} \left( \rho \frac{dS}{d\rho} \right) &= k^2 \\ \frac{1}{F(\varphi)} \frac{d^2 F}{d\varphi^2} &= -k^2 \end{aligned}$$

#### i) Ecuación angular

$$\frac{d^2 F}{d\varphi^2} + k^2 F(\varphi) = 0$$

La solución general para esta ecuación es:

$$F(\varphi) = A_k \cos(k\varphi) + B_k \sin(k\varphi)$$

#### ii) Ecuación radial

$$\begin{aligned} \frac{\rho}{S(\rho)} \frac{d}{d\rho} \left( \rho \frac{dS}{d\rho} \right) &= k^2 \\ \rho \frac{d}{d\rho} \left( \rho \frac{dS}{d\rho} \right) - k^2 S(\rho) &= 0 \end{aligned}$$

Expandiendo el término de la derivada:

$$\begin{aligned} \rho \left( \frac{dS}{d\rho} + \rho \frac{d^2 S}{d\rho^2} \right) - k^2 S &= 0 \\ \rho^2 \frac{d^2 S}{d\rho^2} + \rho \frac{dS}{d\rho} - k^2 S &= 0 \end{aligned}$$

Esta es la ecuación de Euler-Cauchy.

**Caso 1:  $k \neq 0$** 

La solución es de la forma  $S(\rho) = \rho^m$ .

$$\rho^2 m(m-1)\rho^{m-2} + \rho m\rho^{m-1} - k^2 \rho^m = 0$$

$$m(m-1) + m - k^2 = 0$$

$$m^2 - m + m - k^2 = 0$$

$$m^2 = k^2 \implies m = \pm k$$

Por lo tanto, la solución general para  $S(\rho)$  cuando  $k \neq 0$  (y  $k$  es un entero  $n \neq 0$ ) es:

$$S_n(\rho) = C_n \rho^k + D_n \rho^{-k}$$

**Caso 2:  $k = 0$** 

La ecuación radial se simplifica a:

$$\rho \frac{d}{d\rho} \left( \rho \frac{dS}{d\rho} \right) = 0$$

Dividiendo por  $\rho$  (asumiendo  $\rho \neq 0$ ):

$$\frac{d}{d\rho} \left( \rho \frac{dS}{d\rho} \right) = 0$$

Integrando una vez:

$$\rho \frac{dS}{d\rho} = C_1$$

$$\frac{dS}{d\rho} = \frac{C_1}{\rho}$$

Integrando de nuevo:

$$S_0(\rho) = C_1 \ln(\rho) + C_2$$

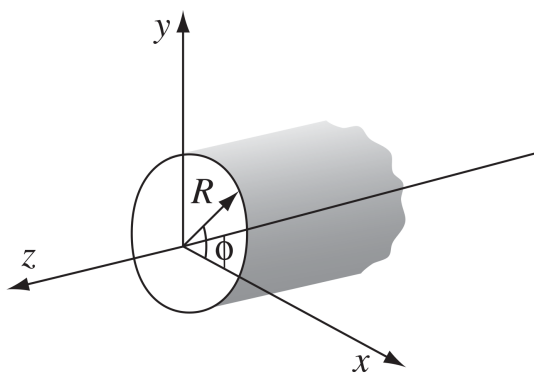
Esta solución logarítmica es la que corresponde al potencial de una línea de carga infinita.

**Solución General**

La solución general  $\Phi(\rho, \varphi)$  es la superposición de todas las soluciones.

$$V(\rho, \varphi) = a_0 + b_0 \ln(\rho) + \sum_{k=1}^{\infty} [(a_k \rho^k + b_k \rho^{-k}) \cos(k\varphi) + (c_k \rho^k + d_k \rho^{-k}) \sin(k\varphi)]$$





Tubo metálico infinitamente cargado.

## Problema 3.25

Encuentra el potencial fuera de un tubo metálico infinitamente largo, de radio  $R$ , colocado perpendicularmente a un campo eléctrico uniforme  $\vec{E}_0$ . Luego, encuentra la densidad de carga superficial inducida en el tubo. Usa el resultado del problema 3.24.

### Solución

El tubo es un cilindro conductor de radio  $R$ , con simetría cilíndrica (eje  $z$ ). El campo eléctrico uniforme aplicado es:

$$\vec{E}_0 = E_0 \hat{x}$$

En coordenadas polares  $(r, \phi)$ , se tiene:

$$\vec{E}_0 = E_0 \cos \phi \hat{r} - E_0 \sin \phi \hat{\phi}$$

El potencial asociado al campo externo es:

$$\Phi_{\text{ext}} = -\vec{E}_0 \cdot \vec{r} = -E_0 x = -E_0 r \cos \phi$$

## Solución de la ecuación de Laplace

Fuera del cilindro (región  $r > R$ ), se resuelve la ecuación de Laplace en coordenadas polares:

$$\nabla^2 \Phi = 0$$

La solución general con simetría en  $\phi$  es:

$$\Phi(r, \phi) = \sum_{k=1}^{\infty} (A_k r^k + B_k r^{-k}) (C_k \cos k\phi + D_k \sin k\phi)$$

Como el campo externo solo depende de  $\cos \phi$ , consideramos solo el término con  $k = 1$  y sin seno:

$$\Phi(r, \phi) = \left( Ar + \frac{B}{r} \right) \cos \phi$$

## Condiciones de frontera

- En  $r = R$ , el potencial debe ser cero (condición sobre el conductor):

$$\Phi(R, \phi) = 0$$

- Para  $r \rightarrow \infty$ , el potencial debe tender al del campo externo:

$$\Phi(r \rightarrow \infty, \phi) \rightarrow -E_0 r \cos \phi \Rightarrow A = -E_0$$

Usando la condición en  $r = R$ :

$$\Phi(R, \phi) = \left(-E_0 R + \frac{B}{R}\right) \cos \phi = 0 \Rightarrow B = E_0 R^2$$

## Potencial final

$$\Phi(r, \phi) = \left(-E_0 r + \frac{E_0 R^2}{r}\right) \cos \phi$$

## Densidad superficial de carga

La densidad superficial de carga en un conductor se relaciona con el campo eléctrico perpendicular justo fuera del conductor:

$$\sigma(\phi) = -\varepsilon_0 \left. \frac{\partial \Phi}{\partial r} \right|_{r=R}$$

Calculamos la derivada:

$$\frac{\partial \Phi}{\partial r} = \left(-E_0 - \frac{E_0 R^2}{r^2}\right) \cos \phi$$

Evaluated en  $r = R$ :

$$\left. \frac{\partial \Phi}{\partial r} \right|_{r=R} = -2E_0 \cos \phi \Rightarrow \sigma(\phi) = 2\varepsilon_0 E_0 \cos \phi$$

- Potencial fuera del tubo:

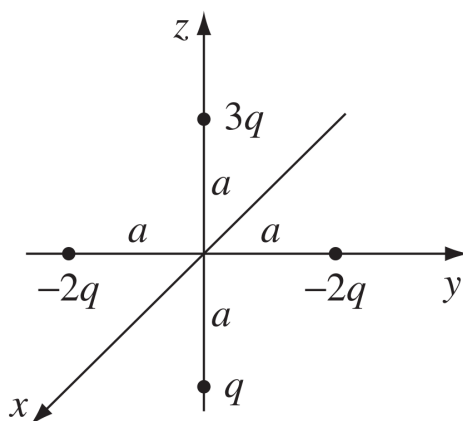
$$\Phi(r, \phi) = \left(-E_0 r + \frac{E_0 R^2}{r}\right) \cos \phi$$

- Densidad superficial de carga:

$$\boxed{\sigma(\phi) = 2\varepsilon_0 E_0 \cos \phi}$$

## Problema 3.29

Cuatro partículas (una de carga  $q$ , una de carga  $3q$  y dos de carga  $-2q$ ) se colocan como muestra la figura, cada una a una distancia  $a$  del origen. Encuentre la fórmula aproximada simple para el potencial eléctrico, válida en puntos alejados del origen. (Exprésese la respuesta en coordenadas esféricas).



Distribución de cuatro partículas con carga.

## Solución

El potencial eléctrico debido a un conjunto de cargas puntuales es:

$$V(\mathbf{r}) = \frac{1}{4\pi\epsilon_0} \sum_{i=1}^4 \frac{q_i}{|\mathbf{r} - \mathbf{r}_i|}$$

Cuando  $r \gg a$ , se puede usar una expansión multipolar:

$$V(\mathbf{r}) \approx \frac{1}{4\pi\epsilon_0} \left( \frac{Q_{\text{total}}}{r} + \frac{\mathbf{p} \cdot \hat{\mathbf{r}}}{r^2} + \dots \right)$$

donde:

$$Q_{\text{total}} = \sum_i q_i$$
$$\mathbf{p} = \sum_i q_i \mathbf{r}_i$$

## Carga total

$$Q_{\text{total}} = q + 3q - 2q - 2q = 0$$

Por lo tanto, el término monopolar se anula y el primer término no nulo es el dipolar.

## Momento dipolar

Calculamos cada contribución:

$$\begin{aligned} q_1 \mathbf{r}_1 &= q(0, 0, -a) = (0, 0, -aq) \\ q_2 \mathbf{r}_2 &= 3q(0, 0, a) = (0, 0, 3aq) \\ q_3 \mathbf{r}_3 &= -2q(a, 0, 0) = (-2aq, 0, 0) \\ q_4 \mathbf{r}_4 &= -2q(-a, 0, 0) = (2aq, 0, 0) \end{aligned}$$

Sumando:

$$\mathbf{p} = (-2aq + 2aq, 0, -aq + 3aq) = (0, 0, 2aq)$$

El momento dipolar apunta en la dirección  $\hat{z}$  y tiene magnitud  $2aq$ .

## Potencial dipolar

En coordenadas esféricas, el vector unitario radial es:

$$\hat{\mathbf{r}} = (\sin \theta \cos \phi, \sin \theta \sin \phi, \cos \theta)$$

Como  $\mathbf{p} = 2aq\hat{z}$ , entonces:

$$\mathbf{p} \cdot \hat{\mathbf{r}} = 2aq \cos \theta$$

Finalmente, el potencial en la aproximación dipolar es:

$$V(r, \theta) \approx \frac{1}{4\pi\epsilon_0} \frac{2aq \cos \theta}{r^2}$$

Este resultado muestra un comportamiento de dipolo orientado a lo largo del eje  $z$ .